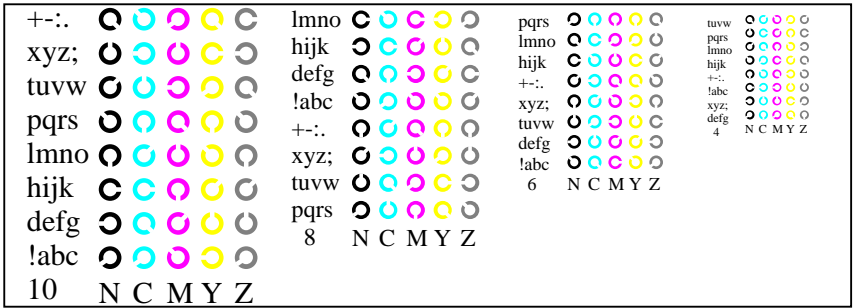
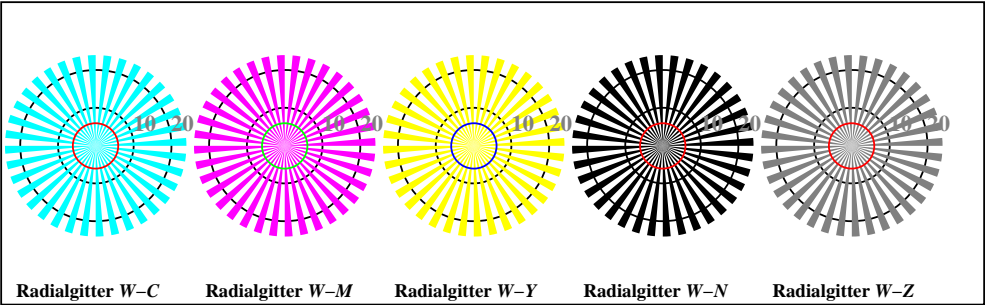


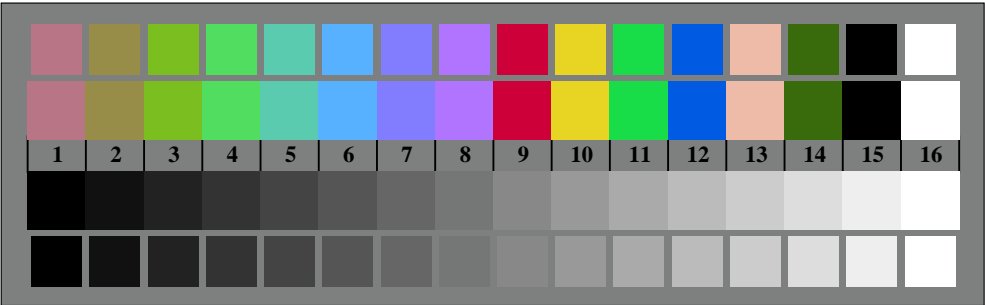
Ee071-1, Bild B4: 16 gleichabständige Stufen $W-C$, $W-M$, $W-Y$, $W-N$; PS-Operator olv^* *setrgbcolor*



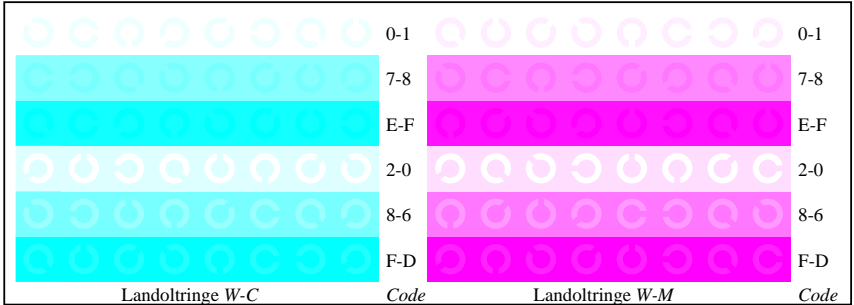
Ee071-3, Bild B5: Schrift und Landoltringe N , C , M , Y , Z ; PS-Operator olv^* *setrgbcolor*



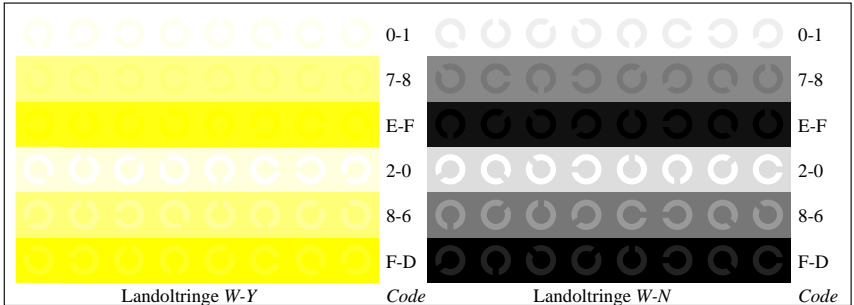
Ee071-5, Bild B2: Radialgitter $W-C$, $W-M$, $W-Y$, $W-N$, $W-Z$; PS-Operator olv^* *setrgbcolor*



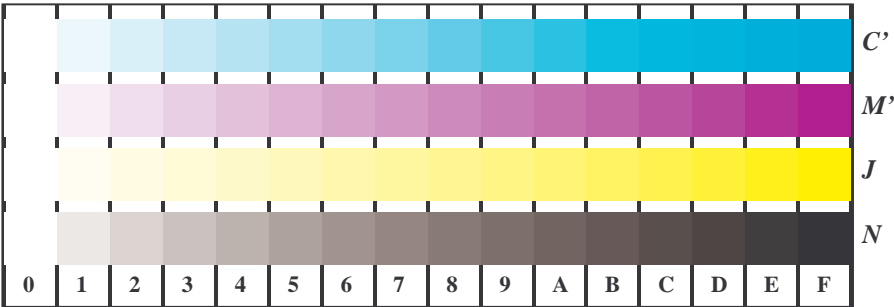
Ee070-7, Bild B3: 14 CIE-Prüffarben sowie 2 + 16 Graustufen; PS-Operator olv^* *setrgbcolor*



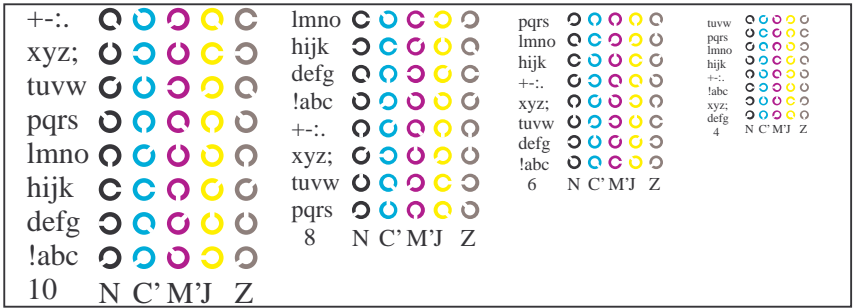
Ee071-5, Bild B6: Landoltringe $W-C$, $W-M$; PS-Operator olv^* *setrgbcolor*



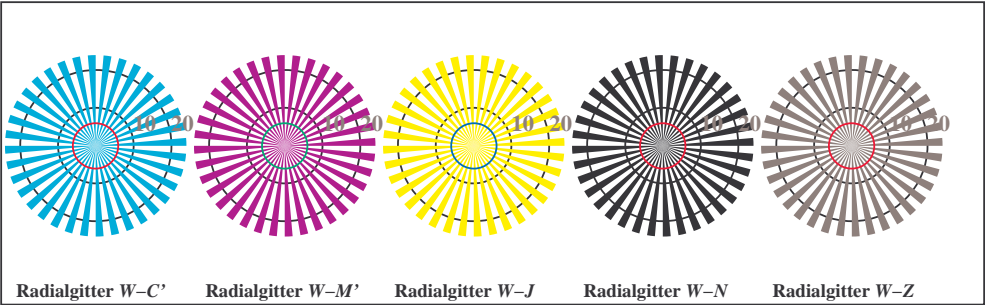
Ee071-7, Bild B7: Landoltringe $W-Y$, $W-N$; PS-Operator olv^* *setrgbcolor*



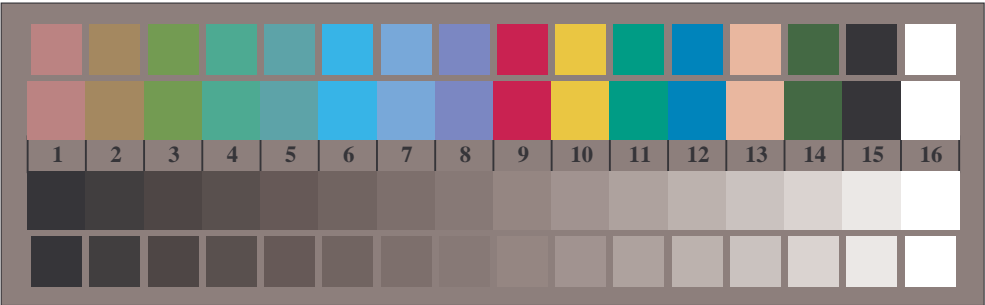
Ee071-1, Bild B4: 16 gleichabständige Stufen $W-C'$, $W-M'$, $W-J$, $W-N$; PS-Operator $rgb^* setrgbcolor$



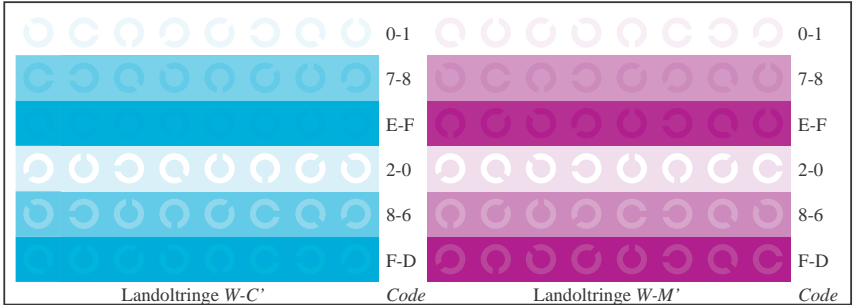
Ee071-3, Bild B5: Schrift und Landoltringe N , C' , M' , J , Z ; PS-Operator $rgb^* setrgbcolor$



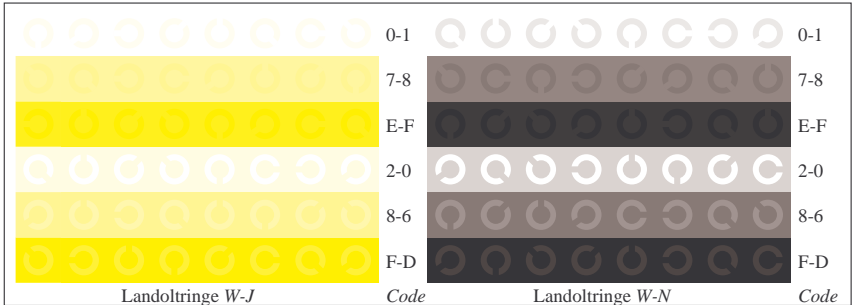
Ee071-5, Bild B2: Radialgitter $W-C'$, $W-M'$, $W-J$, $W-N$, $W-Z$; PS-Operator $rgb^* setrgbcolor$



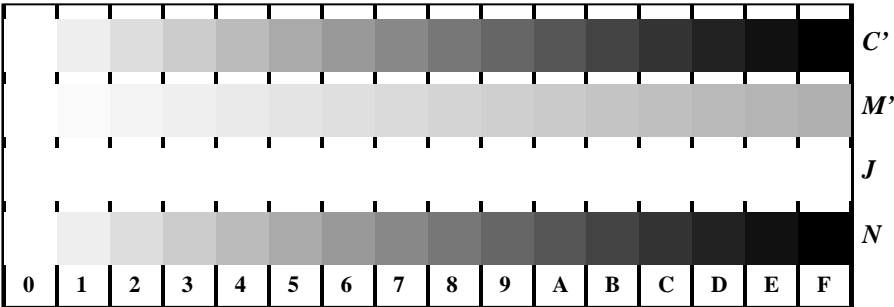
Ee070-7, Bild B3: 14 CIE-Prüffarben sowie 2 + 16 Graustufen; PS-Operator $olv^* setrgbcolor$



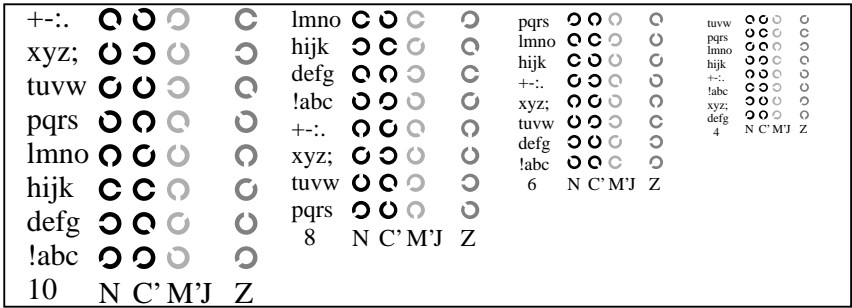
Ee071-5, Bild B6: Landoltringe $W-C'$, $W-M'$; PS-Operator $rgb^* setrgbcolor$



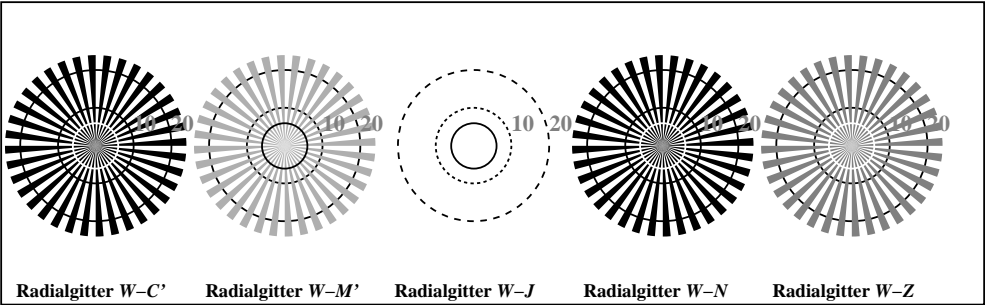
Ee071-7, Bild B7: Landoltringe $W-J$, $W-N$; PS-Operator $rgb^* setrgbcolor$



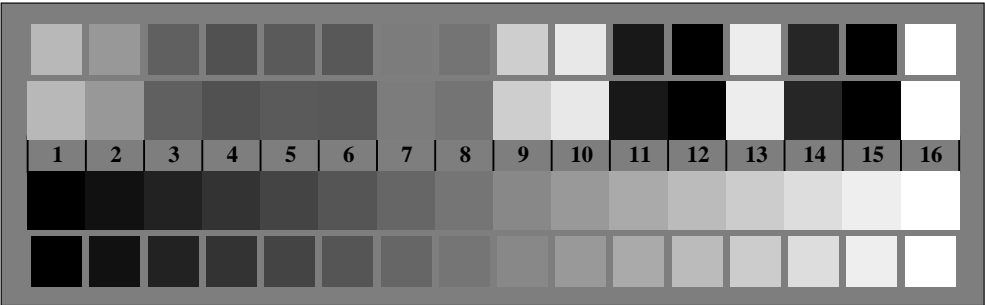
Ee071-1, Bild B4: 16 gleichabständige Stufen $W-C'$, $W-M'$, $W-J$, $W-N$; PS-Operator $rgb^* setrgbcolor$



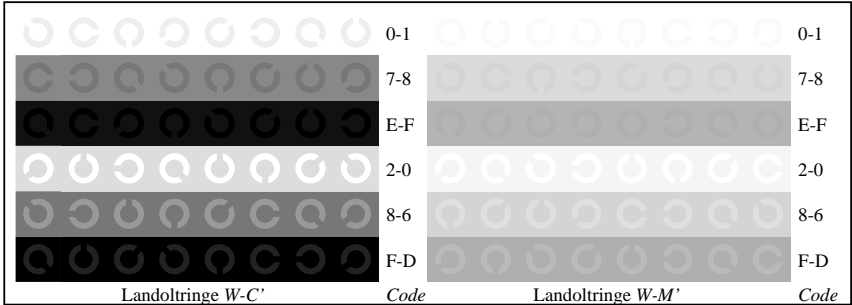
Ee071-3, Bild B5: Schrift und Landoltringe N , C' , M' , J , Z ; PS-Operator $rgb^* setrgbcolor$



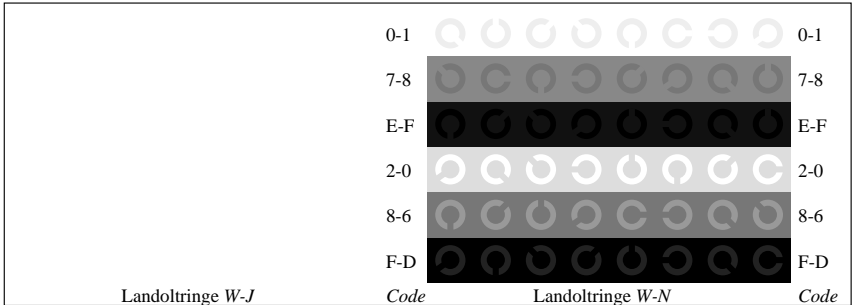
Ee071-5, Bild B2: Radialgitter $W-C'$, $W-M'$, $W-J$, $W-N$, $W-Z$; PS-Operator $rgb^* setrgbcolor$



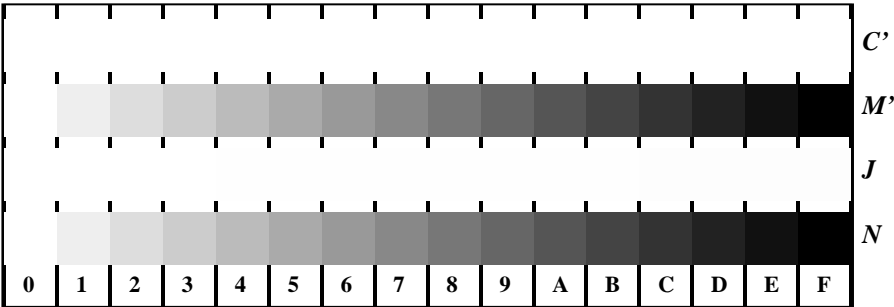
Ee070-7, Bild B3: 14 CIE-Prüffarben sowie 2 + 16 Graustufen; PS-Operator $olv^* setrgbcolor$



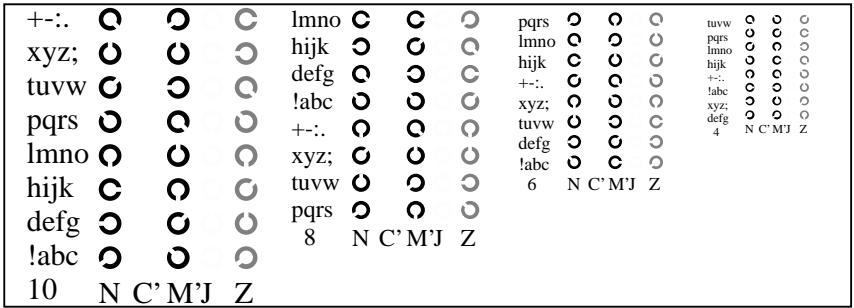
Ee071-5, Bild B6: Landoltringe $W-C'$, $W-M'$; PS-Operator $rgb^* setrgbcolor$



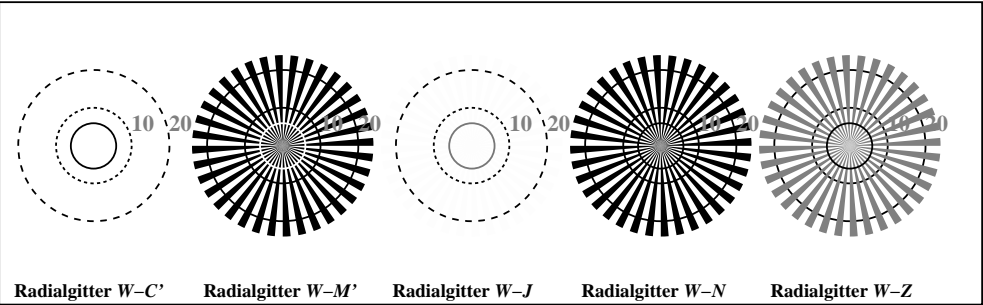
Ee071-7, Bild B7: Landoltringe $W-J$, $W-N$; PS-Operator $rgb^* setrgbcolor$



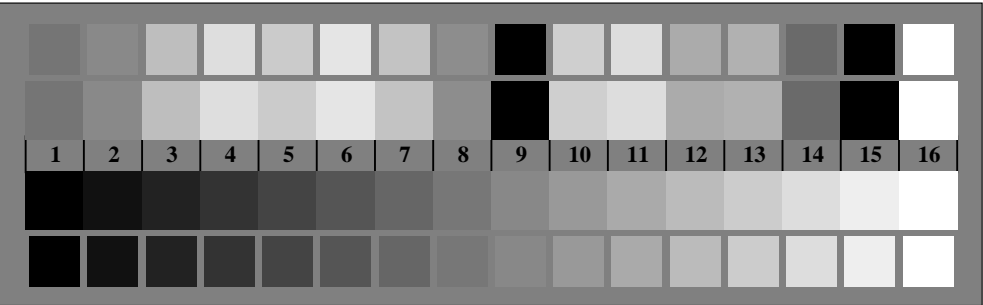
Ee071-1, Bild B4: 16 gleichabständige Stufen $W-C'$, $W-M'$, $W-J$, $W-N$; PS-Operator $rgb^* setrgbcolor$



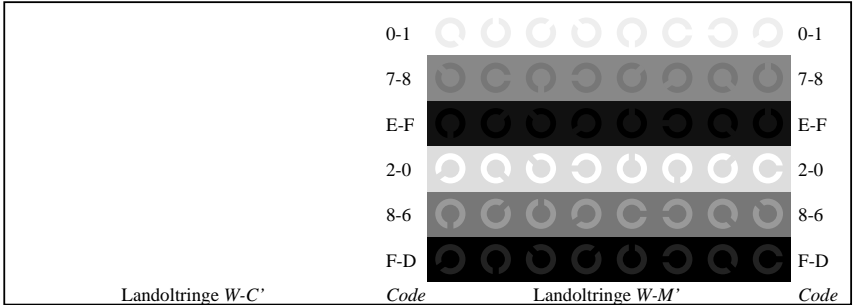
Ee071-3, Bild B5: Schrift und Landoltringe N , C' , M' , J , Z ; PS-Operator $rgb^* setrgbcolor$



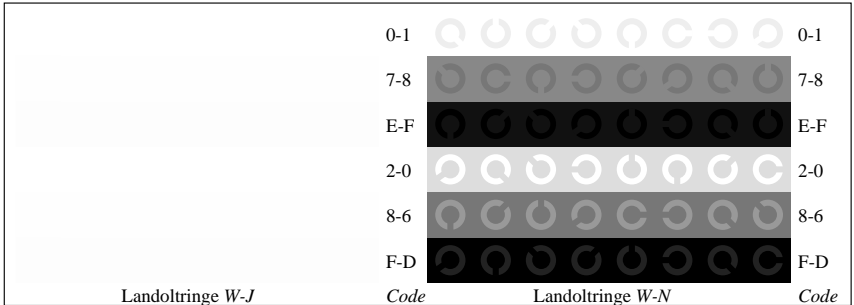
Ee071-5, Bild B2: Radialgitter $W-C'$, $W-M'$, $W-J$, $W-N$, $W-Z$; PS-Operator $rgb^* setrgbcolor$



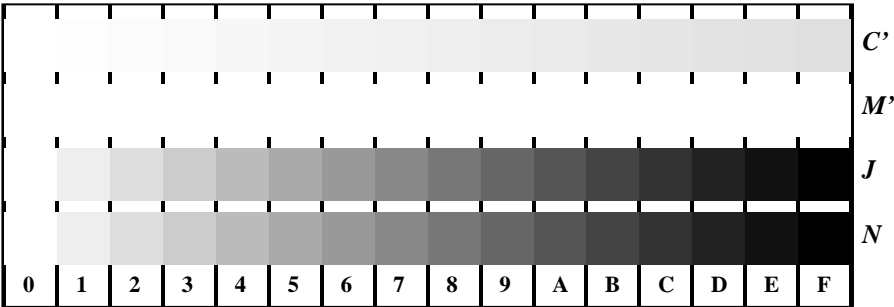
Ee070-7, Bild B3: 14 CIE-Prüffarben sowie 2 + 16 Graustufen; PS-Operator $olv^* setrgbcolor$



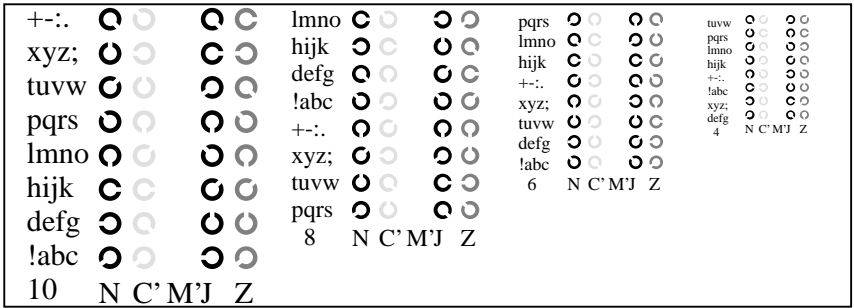
Ee071-5, Bild B6: Landoltringe $W-C'$, $W-M'$; PS-Operator $rgb^* setrgbcolor$



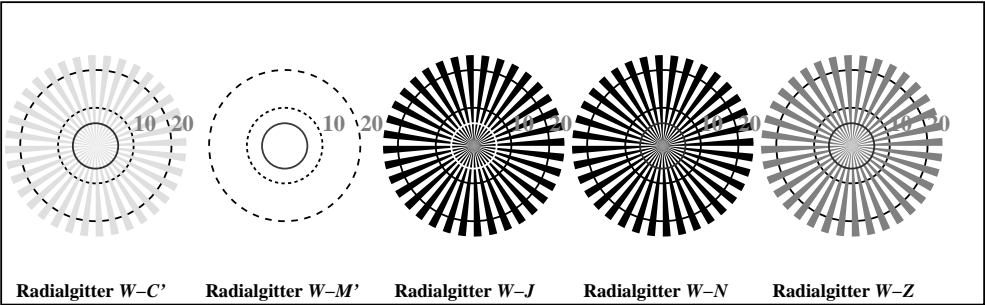
Ee071-7, Bild B7: Landoltringe $W-J$, $W-N$; PS-Operator $rgb^* setrgbcolor$



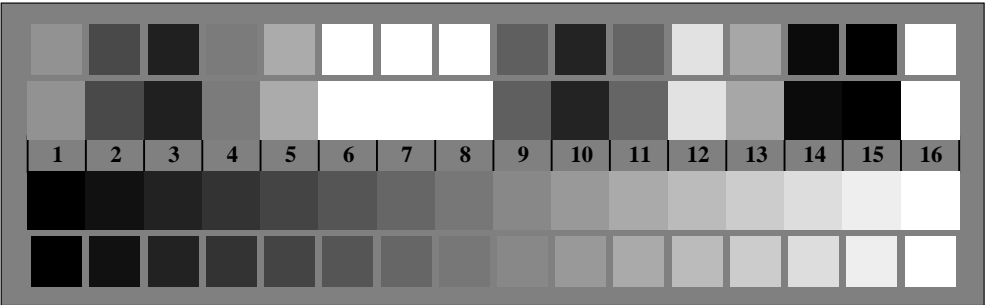
Ee071-1, Bild B4: 16 gleichabständige Stufen $W-C'$, $W-M'$, $W-J$, $W-N$; PS-Operator $rgb^* setrgbcolor$



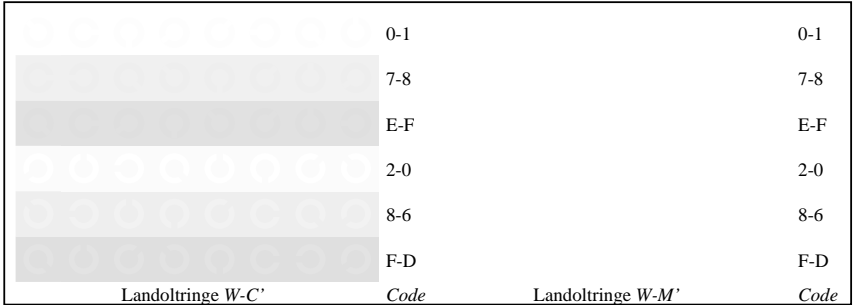
Ee071-3, Bild B5: Schrift und Landoltringe N , C' , M' , J , Z ; PS-Operator $rgb^* setrgbcolor$



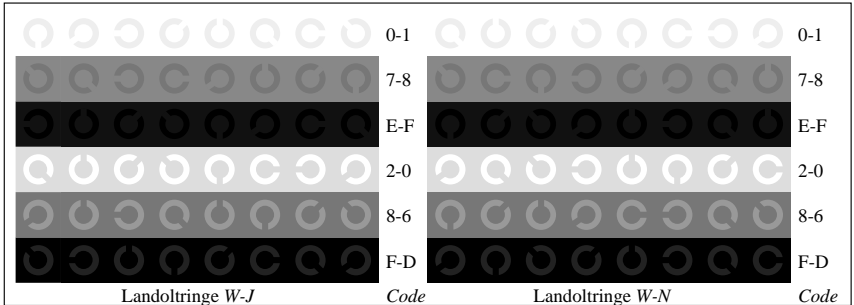
Ee071-5, Bild B2: Radialgitter $W-C'$, $W-M'$, $W-J$, $W-N$, $W-Z$; PS-Operator $rgb^* setrgbcolor$



Ee070-7, Bild B3: 14 CIE-Prüffarben sowie 2 + 16 Graustufen; PS-Operator $olv^* setrgbcolor$



Ee071-5, Bild B6: Landoltringe $W-C'$, $W-M'$; PS-Operator $rgb^* setrgbcolor$



Ee071-7, Bild B7: Landoltringe $W-J$, $W-N$; PS-Operator $rgb^* setrgbcolor$